

# Исследование спиновых резонансов в ускорителе с Сибирскими змейками

В.И.Птицын и Ю.М.Шатунов  
Институт ядерной физики, Новосибирск, Россия

## 1. Случай двух змеек

Рассмотрим случай уединенного резонанса, когда можно считать, что возмущение движения спина частицы в ускорителе с вертикальным ведущим полем определяется главным образом одной гармоникой:  $w_n = |w_n| e^{i\phi_n} e^{i\nu_n\theta}$ .  $\nu_n = n \pm \nu_z$  — для резонансов, обусловленных вертикальным бетатронным движением,  $\nu_n = n$  — для резонансов, обусловленных искажениями вертикальной орбиты.

В случае двух змеек для того, чтобы держать спиновую частоту равной  $1/2$  и независимой от энергии пучка, змейки должны быть размещены в противоположных точках азимута ускорителя, а направления оси вращения спина в змейках (мы будем называть их также осями змеек)  $\alpha_1, \alpha_2$  должны удовлетворять соотношению  $\alpha_2 - \alpha_1 = \pm\pi/2$ .

При анализе воздействия возмущения на движение спина удобно работать в системе координат, которая вращается с частотой  $\nu_o = \gamma\alpha$  вокруг вертикальной оси в ведущих дипольных магнитах и поворачивается на угол  $\pi$  вокруг оси змейки в змейках. При отсутствии возмущения направление спина остается постоянным в такой вращающейся системе.

Преобразовывая возмущение  $w_n$  во вращающуюся систему и разлагая затем его в ряд Фурье, приходим к сумме линейных гармоник:

$$\tilde{w}_n = -e^{i(\alpha_1 - \nu_o \frac{\pi}{2} - \frac{\pi}{4})} \sum_k i^k \tilde{w}_{nk} \sin(\Delta_k \theta + \phi_n - \alpha_1), \text{ где } \tilde{w}_{nk} = |w_n| \frac{\sin(\chi_k \pi/2)}{\chi_k \pi/2}, \quad (1)$$

$\Delta_k = \nu_n - (k + 1/2)$  и  $\chi_k = \nu_o - (k + 1/2)$ .

Некоторые заключения могут быть сделаны из этой формулы:

1. Направления осей колебаний линейных гармоник не зависят от фазы гармоники возмущения так же, как и от  $\nu_n$ .

2. Все гармоники  $\tilde{w}_{nk}$  с нечетным (четным) номером  $k$  имеют ту же самую ось колебаний, которая ортогональна оси колебаний для гармоник с четным (нечетным)  $k$ .

3. При пересечении резонанса во время ускорения расстройка  $\Delta_k$  остается постоянной, в то время как  $\tilde{w}_{nk}$  изменяется сложным путем, достигая максимальной величины при  $\nu_o = k + 1/2$ .

4. Наиболее сильное влияние на спин оказывают гармоники с номерами, близкими к  $k_o = [\nu_n]$  (целой части  $\nu_n$ ).

Рассматривая движение спина в сферических координатах  $\rho$  и  $\phi$ :

$$S_x = \sin\rho \cos\phi, \quad S_y = \sin\rho \sin\phi, \quad S_z = \cos\rho, \quad (2)$$

введем комплексную переменную  $\Psi = \rho \exp(i\phi)$ . В первом приближении по отклонению спина от вертикального направления имеем для  $\Psi$  следующее уравнение:  $\Psi' = -i\tilde{w}_n$ .

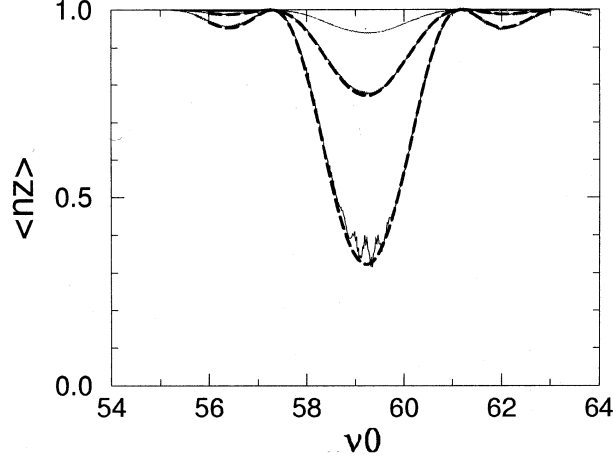


Рис. 1: Поляризация, наблюдаемая при азимуте  $\theta = 0$  (сразу после змейки) при пересечении резонансов с величиной  $|w_n|=0,12; 0,25; 0,5$ . Пунктирные линии соответствуют аналитическим результатам.  $\nu_n=59,23$ .

Решение этого уравнения, соответствующее периодическому спиновому решению  $\mathbf{n}$ , есть

$$\Psi = \frac{|w_n|}{\sin(\Delta\pi)} e^{i\tilde{\alpha}} \frac{1}{\delta} (B_1(\theta)e^{i\Phi} + B_2(\theta)e^{-i\Phi}), \quad (3)$$

где  $\Phi = \Delta\theta + \phi_n - \alpha_1$ ,  $\delta = \nu_o - \nu_n$ ,  $\tilde{\alpha} = \alpha_1 - \nu_o \frac{\pi}{2} - \frac{\pi}{4}$  и  $\Delta = \Delta_{k_o}$ .  $B_{1,2}$  представляют собой периодические функции азимута ускорителя  $\theta$ .

Выбирая точку наблюдения сразу после змейки (при  $\theta = 0$ ), получаем

$$\Psi = \frac{\pi|w_n|}{\sin(\Delta\pi)} e^{i(\tilde{\alpha}-\Delta\frac{\pi}{2})} \frac{\sin(\delta\frac{\pi}{2})}{\delta\frac{\pi}{2}} \cos\Phi. \quad (4)$$

Максимальное отклонение величины  $\rho$  от нулевого значения

$$|\rho|_{max} = \frac{\pi|w_n|}{\sin(\Delta\pi)} \frac{\sin(\delta\frac{\pi}{2})}{\delta\frac{\pi}{2}} \quad (5)$$

может быть названо глубиной резонанса, так как оно описывает максимальное отклонение спина от вертикального направления. Глубина резонанса возрастает, когда дробная часть резонансной частоты  $\nu_n$  близка к  $1/2$ , что соответствует спиновому резонансу первого порядка. При некоторых значениях энергии, когда  $\delta = m$ , где  $m$  — четное и не равное нулю целое число, глубина резонанса равна нулю (так называемые узловые точки). Для дальнейшего приближения первого порядка, точная позиция узловых точек дается использованием  $\lambda = \sqrt{\delta^2 + |w_n|^2}$  вместо  $\delta$  [1].

Используя  $\lambda$  вместо  $\delta$  и усредняя по бетатронной фазе (фазе гармоники  $\phi_n$ ), приходим к выражению для наблюдаемой вертикальной поляризации при  $\theta = 0$ :

$$\langle n_z \rangle = \langle \cos\rho \rangle = J_0\left(\frac{\pi|w_n|}{\sin(\Delta\pi)} \frac{\sin(\lambda\frac{\pi}{2})}{\lambda\frac{\pi}{2}}\right). \quad (6)$$

Этот аналитический результат сравнивался с результатами, полученными численным путем с использованием программы SPINK [2] на примерной ФОДО структуре. Анализ показал хорошее согласие аналитических и численных результатов даже при достаточно большой величине силы резонанса ( $|w_n| = 0,5$ ) при условии, что вертикальная бетатронная частота находится достаточно далеко от значений, соответствующих резонансам высокого порядка (змеичным резонансам). На рис.1 приведены результаты для наблюдаемой поляризации в зависимости от  $\nu_o$  при разных силах резонанса.

При наблюдении движения спина на половине пути между змейками (при  $\theta = \pi/2$ ) можно получить из (3) (снова используя  $\lambda$  вместо  $\delta$ ):

$$\rho = \frac{2|w|\sin(\lambda\frac{\pi}{4})}{\sin(\Delta\pi)\lambda} \sqrt{\cos^2(\lambda\frac{\pi}{4}) + \cos^2(\lambda\frac{\pi}{4} + \Delta\pi) + 2\cos(\lambda\frac{\pi}{4})\cos(\lambda\frac{\pi}{4} + \Delta\pi)\cos(2\Phi)}. \quad (7)$$

Из этой формулы очевидно более редкое расположение узловых точек, чем в предыдущем случае, и несимметричная зависимость поляризации от энергии. Рис. 2 демонстрирует снова поведение  $\langle \cos\rho \rangle$  при пересечении резонанса.

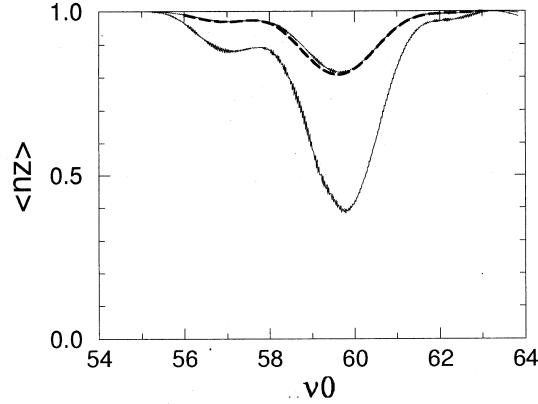


Рис. 2: Поляризация, наблюдаемая при азимуте  $\theta = \pi/2$  (на половине пути между змейками) при пересечении резонансов с величиной  $|w_n|=0,25; 0,5$ . Пунктирная линия соответствует аналитическому результату  $|w_n|=59,23$ .

## 2. Случай четырех змеек

При достаточно большой величине возмущения применение более чем 2 змеек может требоваться для сохранения поляризации. Рассмотрим случай четырех змеек, размещенных в ускорителе при  $\theta = 0; \pi/2; \text{ и } 3\pi/2$ . Чтобы держать спиновую частоту равной  $1/2$ , оси змеек должны удовлетворять соотношению  $\alpha_1 + \alpha_3 - \alpha_2 - \alpha_4 = \pm \frac{\pi}{2}$ . Преобразуя снова резонансную гармонику  $w_n$  во вращающуюся систему координат, находим

$$\tilde{w}_n = \frac{1}{2} \sum_k \tilde{w}_{nk} e^{i\beta k} (C_{1k} e^{i(\Delta_k \theta + \tilde{w}_o)} + C_{2k} e^{-i(\Delta_k \theta + \tilde{w}_o)}), \text{ где } \tilde{w}_{nk} = |w_n| \frac{\sin(\chi_k \pi/4)}{\chi_k \pi/4}, \quad (8)$$

$C_{1k} = \cos(\alpha_2 - \alpha_1 - (k+1/2)\pi/2)$ ,  $C_{2k} = \cos(\alpha_3 - \alpha_2 - (k+1/2)\pi/2)$ .  $\beta_k$  и  $\tilde{\omega}_o$  — некоторые константы.

Какая конфигурация осей змеек является оптимальной? Предполагая дробную часть резонансной частоты  $\nu_n$  в диапазоне  $[0,1; 0,9]$ , для того чтобы эффективно уменьшить глубину резонанса, нужно занулить гармонику с номером  $k_o$ . Из условий  $C_{1k_o} = 0$  и  $C_{2k_o} = 0$  находим следующие соотношения между осями змеек:  $\alpha_3 - \alpha_1 = \pi/2$  и  $\alpha_4 - \alpha_2 = \pi/2$  для любых  $k_o$ ;  $\alpha_2 - \alpha_1 = -\pi/4$  (для четных  $k_o$ ) или  $\alpha_2 - \alpha_1 = \pi/4$  (для нечетных  $k_o$ ). Таким образом, существует различие в оптимальных конфигурациях, необходимых для подавления резонансов с четной и нечетной целой частью резонансной частоты. Более того, наиболее эффективная конфигурация для нечетных (четных) резонансов является наиболее неэффективной для четных (нечетных) резонансов. Однако из (8) можно найти компромиссный вариант — конфигурацию, которая уменьшает глубину четных и нечетных резонансов в равной степени:  $\alpha_1 = \alpha_3$ ,  $\alpha_2 = \alpha_4$  и  $\alpha_1 - \alpha_2 = \pi/4$ . Рис. 3 демонстрирует пересечение резонанса для наиболее эффективного, наиболее неэффективного и компромиссного вариантов конфигураций осей змеек.

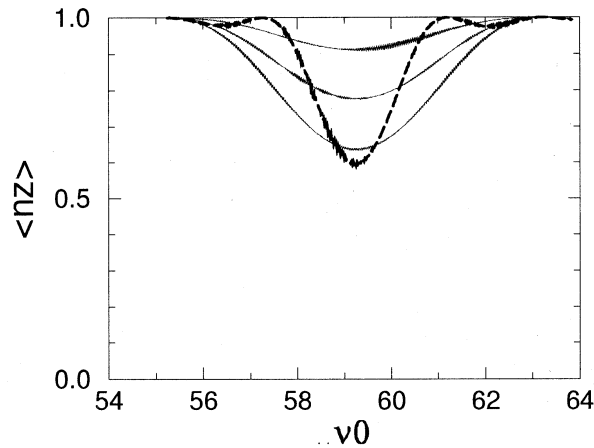


Рис. 3: Пересечение резонанса при различных конфигурациях осей змеек. Пунктирная линия соответствует применению двух змеек.  $\nu_n = 59,23$ .

### Список литературы

- [1] S.Y.Lee. 11th International Symposium on High Energy Spin Physics, Bloomington in 1994, ISBN 1-56396-374-4, AIP Conference Proceedings **343** (1995) 719.
- [2] A.Luccio. "Numerical Spin Tracking in a Synchrotron Computer Code SPINK", BNL-52481, September 1995.